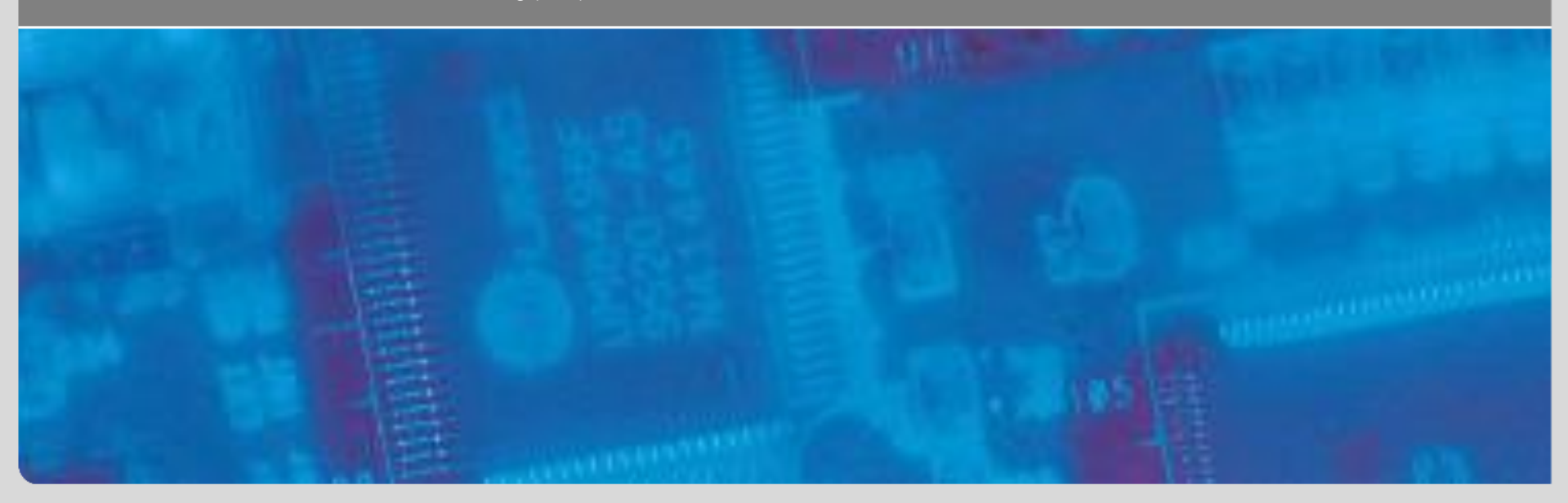




Biomedizinische Messtechnik I

Prof. Wilhelm Stork

Institut für Technik der Informationsverarbeitung (ITIV)

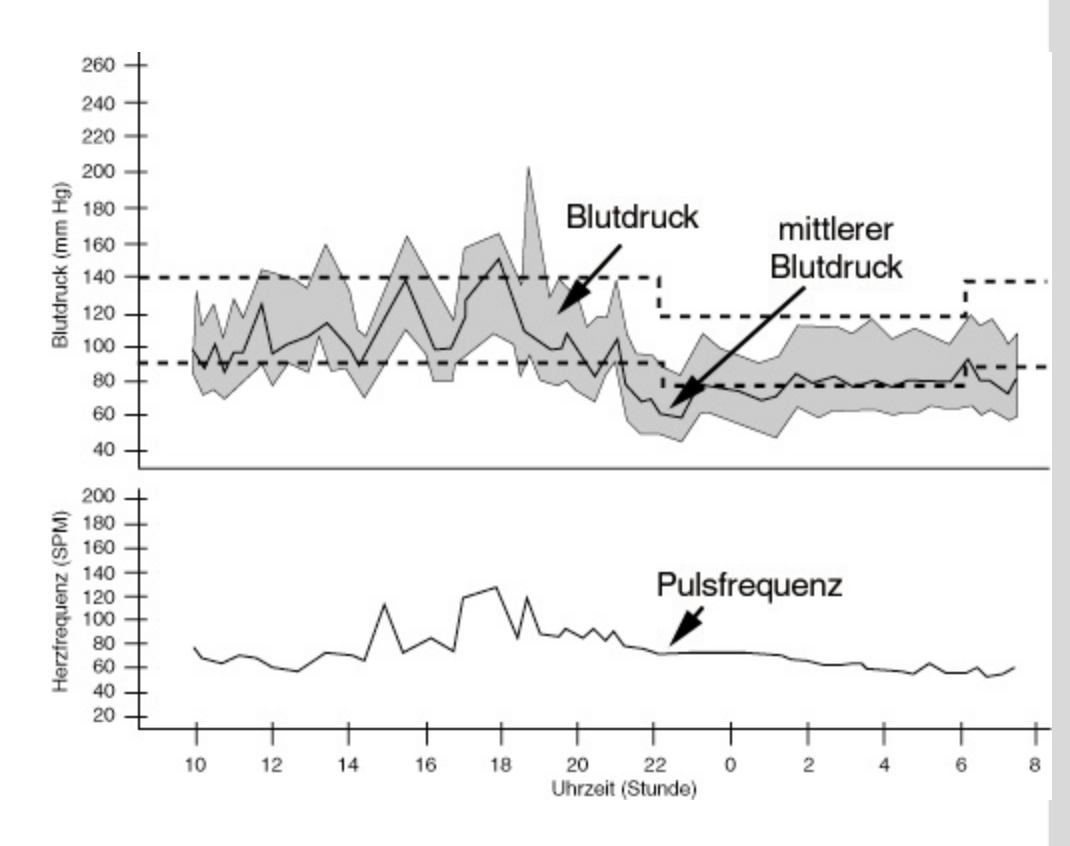


24h Blutdruckmessung



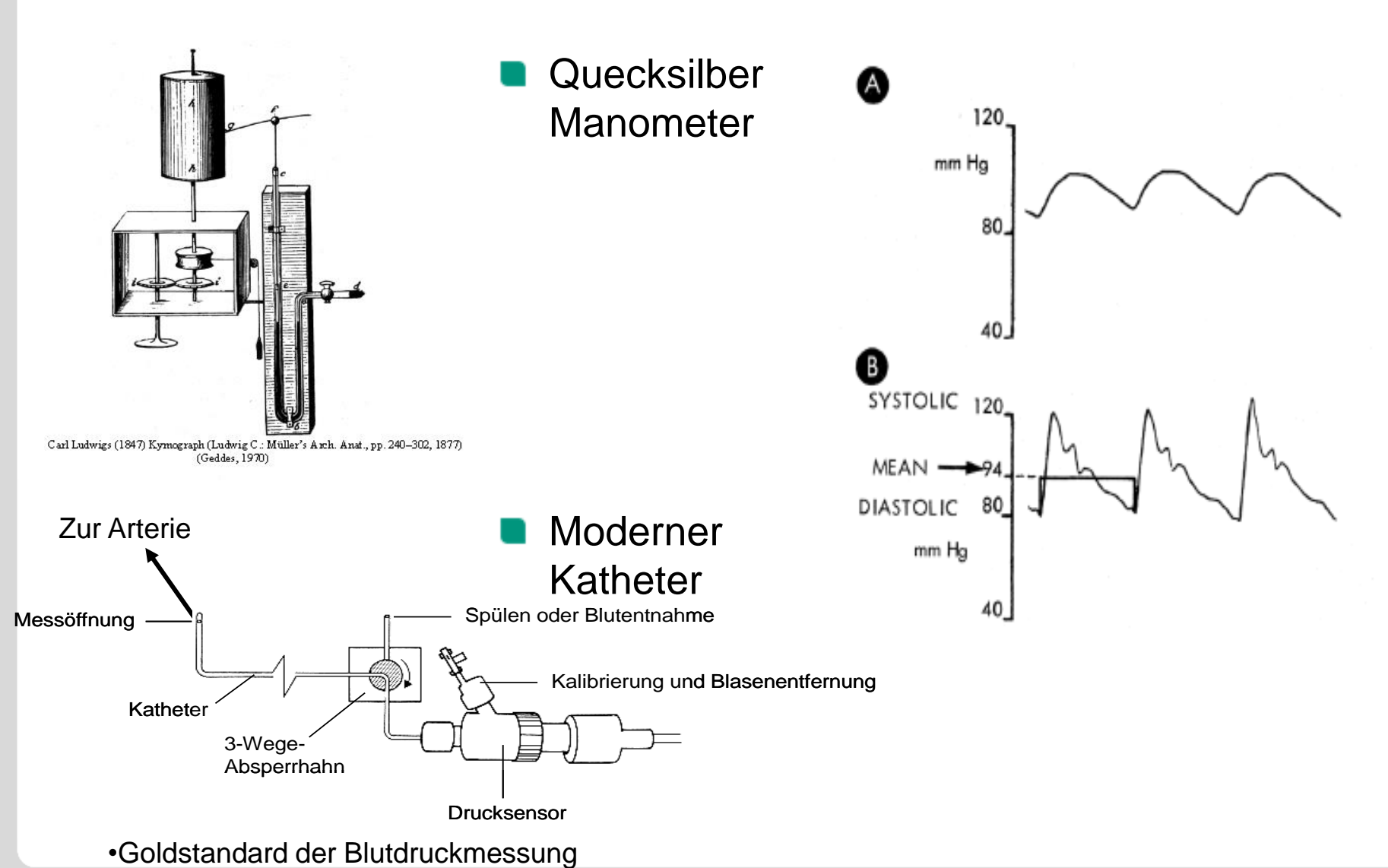
- Nachts sinkt der Blutdruck
- Morgens ist er häufig am höchsten (volle Blase, Regulationswechselwirkung mit der Niere)
- 24h Messung alle 15 Minuten





Druckkurven: Invasives Manometer



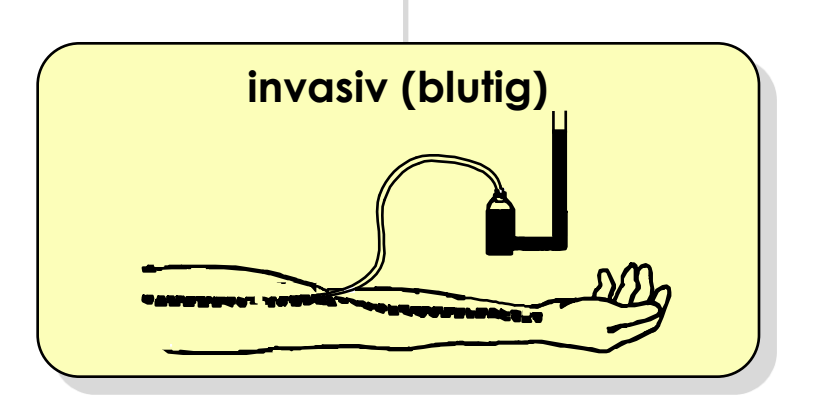




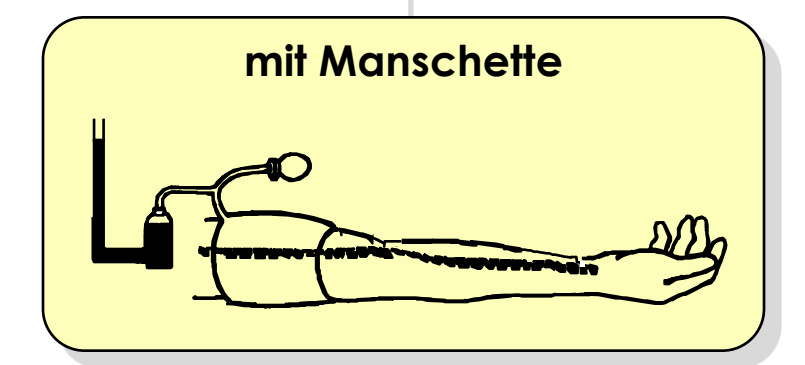
Übersicht Meßsysteme

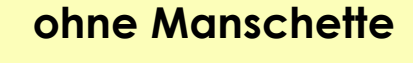


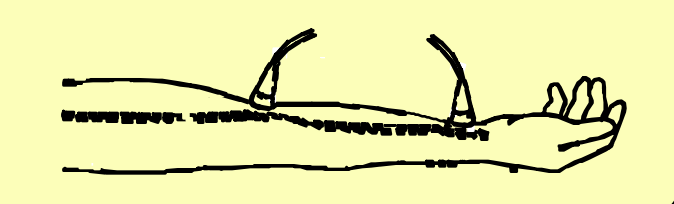
Blutdruckmeßsysteme



nichtinvasiv (unblutig)

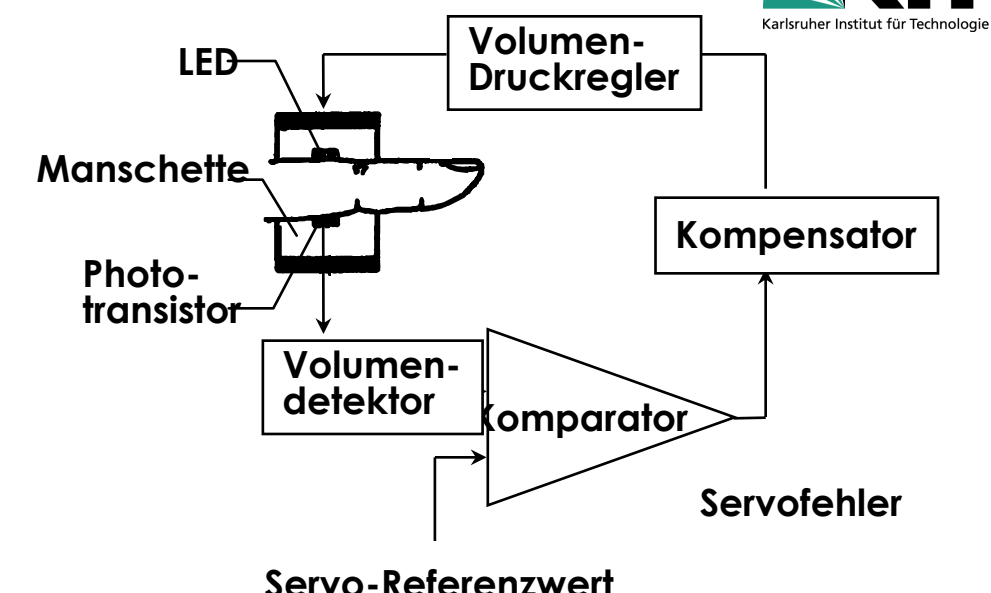






Blutdruckmessung / Volumenkompensationsmethode nach Penaz

Prinzip: Kontinuierliches
 Erzeugen eines
 Gegendrucks in der
 Fingermanschette zur
 Kompensation des
 augenblicklichen
 intraarteriellen Blutdrucks

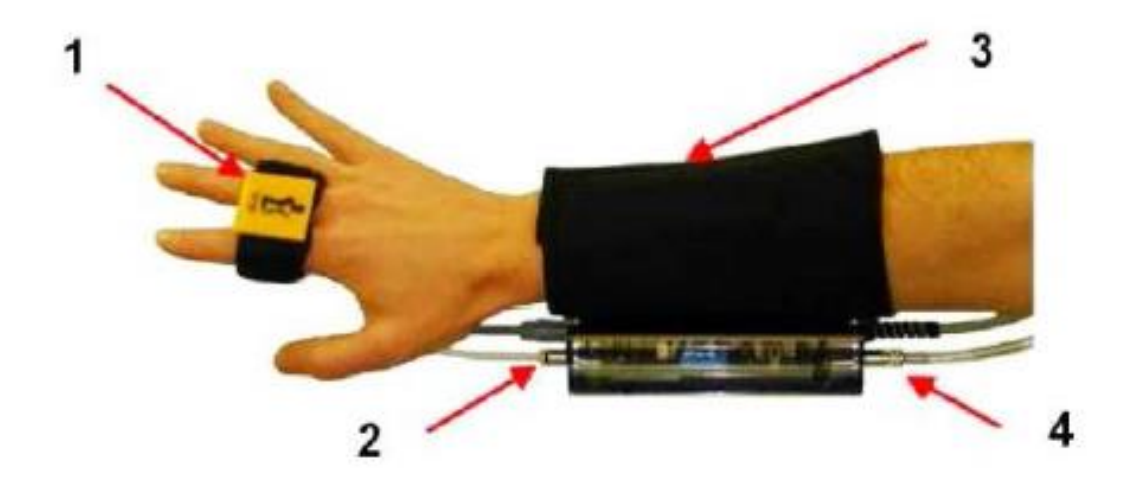


- Konstanz des Blutvolumens in jedem Zeitpunkt entspricht intraarteriellem Blutdruck von 0 mmHg (unloaded state).
- Manschetten-Gegendruck = zu messender arteriellen Druck
- Schädigung des Fingergewebes bei längerdauernder Anwendung
- Vorteil: Kontinuierliches Verfahren



Kontinuierliche Blutdruckmessung Kompensationsmethode





- Das kontinuierliche Blutdruckmessgerät: 1 = "Flying-V-Fingermanschette" zur Anlage um zwei Finger 2 = "Task Force[®] Vasclar unloading Monitor"
- = Befestigunsmanschette mit Klettverschluss für den Unterarm
- = Druckluitschlauch [19]



Ausbreitungsgeschwindigkeit von Druckwellen



Schallgeschwindigkeit in Fluiden c

$$c_{ ext{Flüssigkeit,Gas}} = \sqrt{\frac{K}{
ho}}$$

$$\sqrt{\frac{\frac{kg}{m \cdot s^2}}{kg/m^3}} = \frac{m}{s}$$

- Kompressionsmodul K
 - K beschreibt, welche allseitige <u>Druck</u>änderung nötig ist, um eine bestimmte <u>Volumen</u>änderung hervorzurufen (dabei darf kein Phasenübergang auftreten).

$$K := -V \cdot \frac{\mathrm{d}p}{\mathrm{d}V} = -\frac{\mathrm{d}p}{\mathrm{d}V/V}$$

Dichte ρ (kg/m³)

Moens-Korteweg Gleichung



Für den Volumenelastizitätsmodul gilt:

$$\kappa = \frac{dp}{dV/V} = \frac{dp}{dA/A} = \frac{dp}{2\pi r dr/\pi r^2} = \frac{dp \cdot r}{dr \cdot 2d}$$

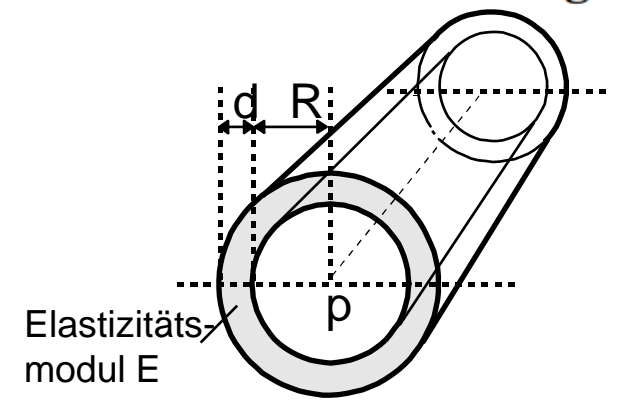
Längskontraktion vernachlässigt

Mit

$$E = \frac{dp}{dr} \cdot \frac{r^2}{d}$$

$$E = \frac{\sigma}{\varepsilon} = \frac{Kraft / Fläche}{Dehnung} \approx Druck$$

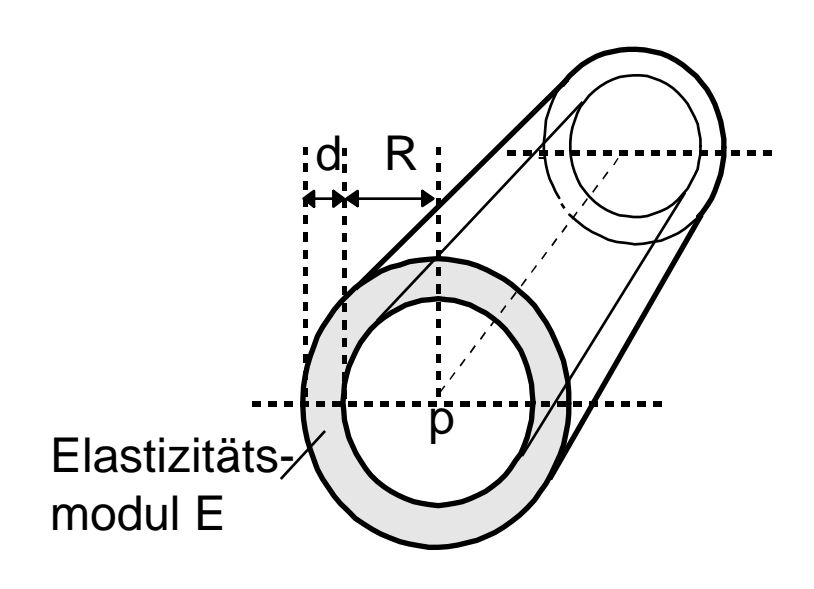
erhält man die Moens-Korteweg-Gleichung:



$$c = \sqrt{\frac{Ed}{2R_i\rho}}$$

Gefäßmechanik





$$c = \sqrt{\frac{d \cdot E}{2 \cdot \rho \cdot R}}$$

Moens und Korteweg Formel

$$p = \frac{2 \cdot \rho \cdot R}{E \cdot d} \cdot c^2 - \frac{E_0}{E_p}$$



Annahmen:

- Keine Dehnungsverluste
- d/R klein
- Längsfixierter Schlauch
- Querkontraktion µ richtungsunabhängig
- Linearer Zusammenhang von E und p

$$E = \frac{\sigma}{\varepsilon} = \frac{Kraft / Fläche}{Dehnung} \approx Druck$$

 Taylorentwicklung nach Pulswellengeschwindigkeit

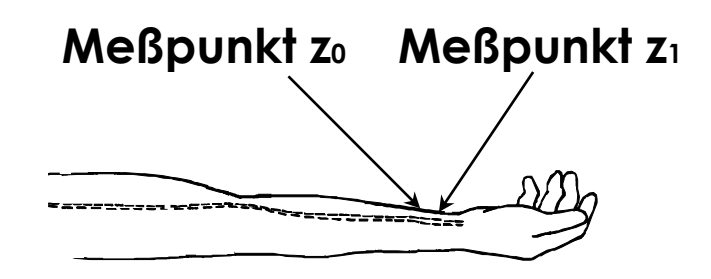
$$p = b_1 \cdot c^2 + b_0$$

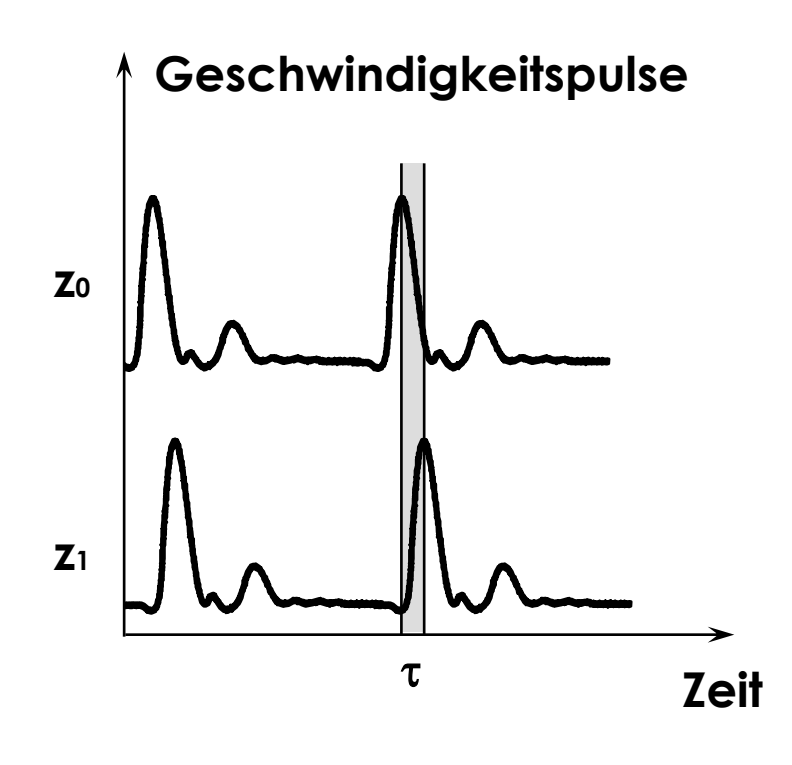
Nichtinvasiv-kontinuierliche Ansätze



Vorgehen zur Bestimmung des Blutdrucks:

- Registrierung zweier
 Geschwindigkeitspulse an einem
 Arteriensegment v(z₀) und v(z₁) im
 Abstand d = z₁ z₀
- Bestimmung der Pulstransitzeit τ aus den Geschwindigkeitspulsen;
 Pulswellengeschwindigkeit c = d / τ
- Bestimmung der Parameter P₁ und P₂ aus v(z₀) und v(z₁)
- Ermittlung des Blutdrucks p mit P₁ und P₂
- Wegstrecke sehr kurz und Zeitdifferenz nur ungenau zu bestimmen ->



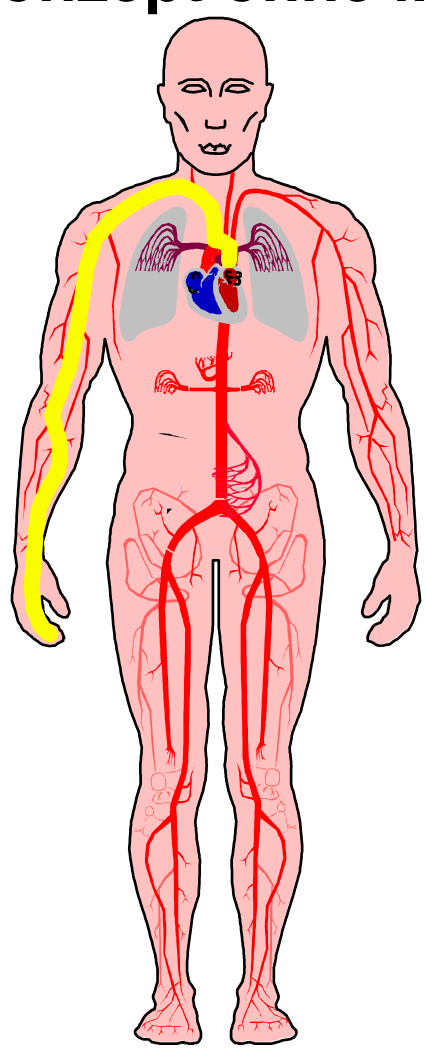




10.12.2013

Konzept ohne Manschette



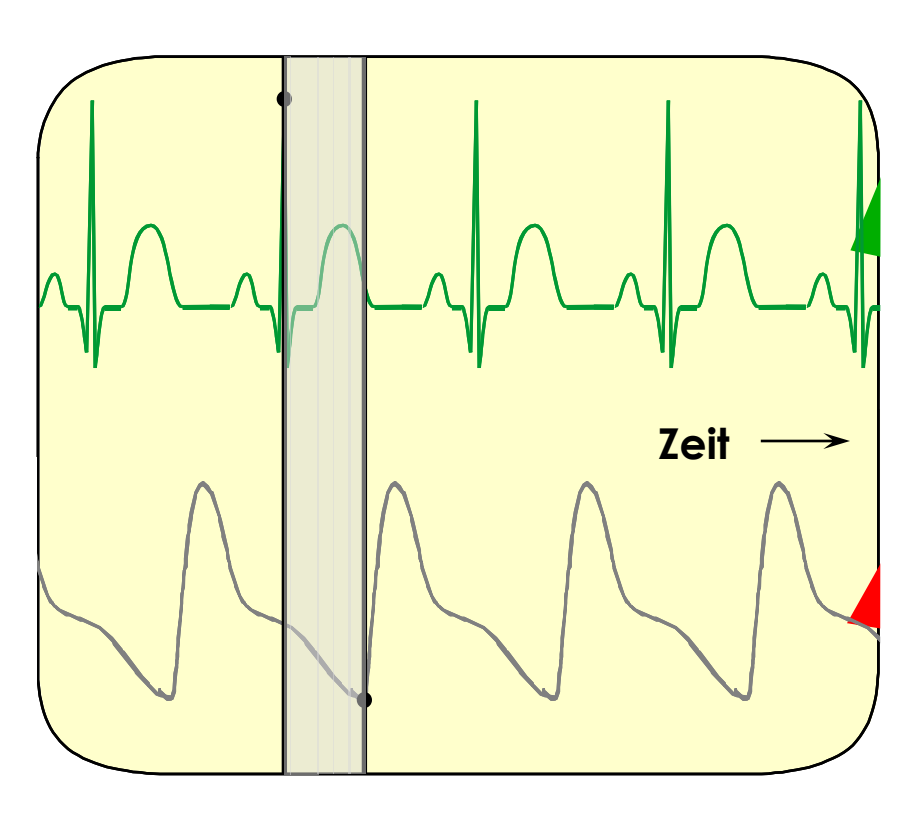


Blutdruckmessung ohne Manschette?

- Bestimmung des Blutdrucks aus der Pulstransitzeit und der Blutflussgeschwindigkeit
- Pulstransitzeit: Propagationszeit einer Pulswelle vom Herzen zum Finger oder zum Ohr

Pulstransitzeit





EKG Fingerpuls

Pulstransitzeit

Algorithmus zur PTT-Messung



- Robuster Algorithmus trotzStörungen durch
 - Reflektierte Pulse
 - Bewegungsartefakte
- Hohe zeitliche Auflösung
 - Hoher zeitlicher Gradient
- Charakteristische Punkte
 - Max. Steigung (MST)

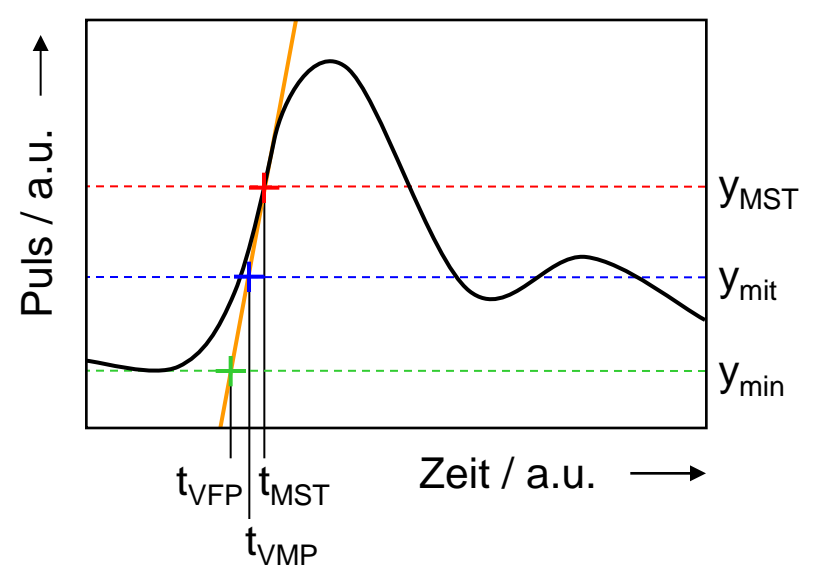
$$\sigma = 27.1^{\circ}$$

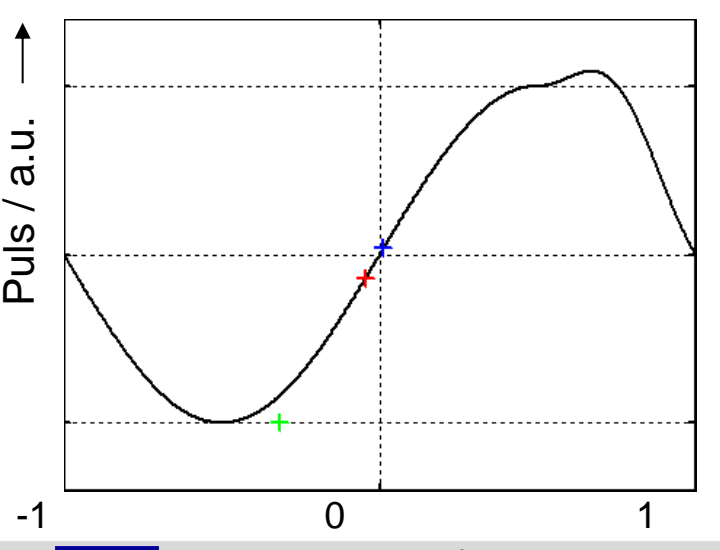
Virtueller Fußpunkt (VFP)

$$\sigma = 14.4^{\circ}$$

Virtueller Mittelpunkt (VMP)

$$\sigma = 11,5^{\circ}$$





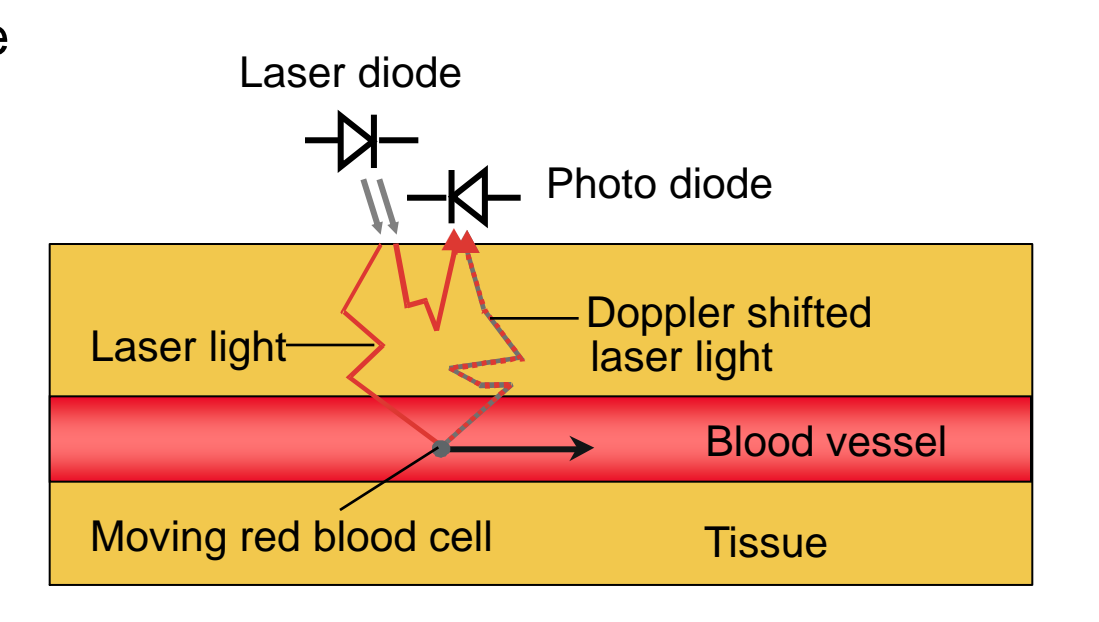
Nichtinvasive Laser-Doppler-Blutflußmessung



Maximale detektierbare
 Dopplerverschiebung
 bei Einfachstreuung

$$\Delta f_{\text{max}} = 2 \frac{v}{\lambda_0} n$$

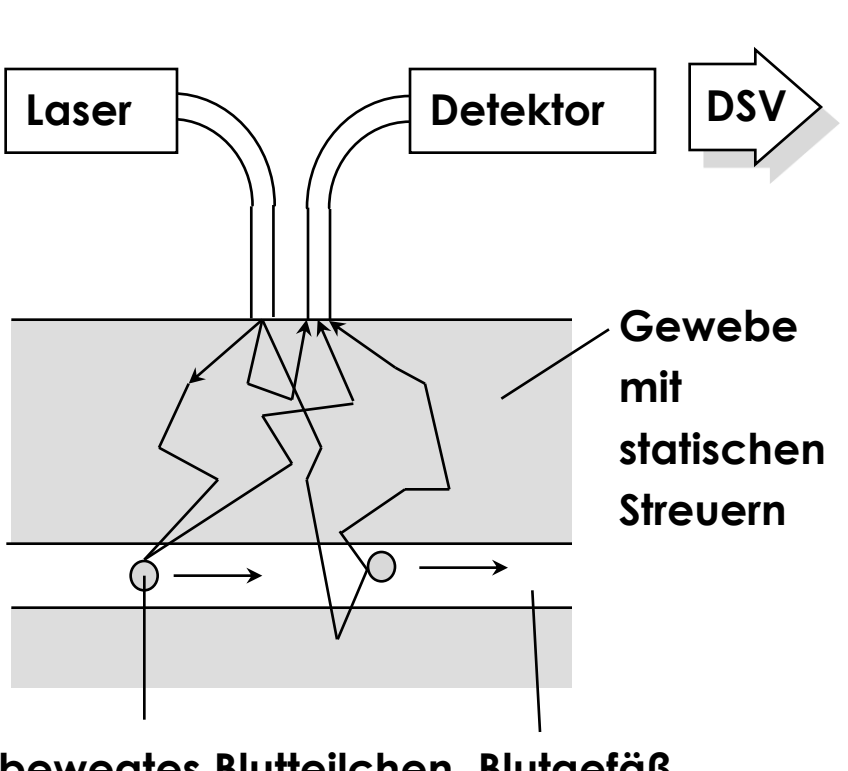
- Charakterisierung
 - $\lambda_0 = 830 \text{ nm}$
 - $P_{opt} = 20 \text{ mW}$
 - Relative Bestimmung des Blutflusses auch in kleinen Gefäßen (z.B. Hautperfusion) mit geringer Eindringtiefe (einige mm)
 - Quasi berührungslos



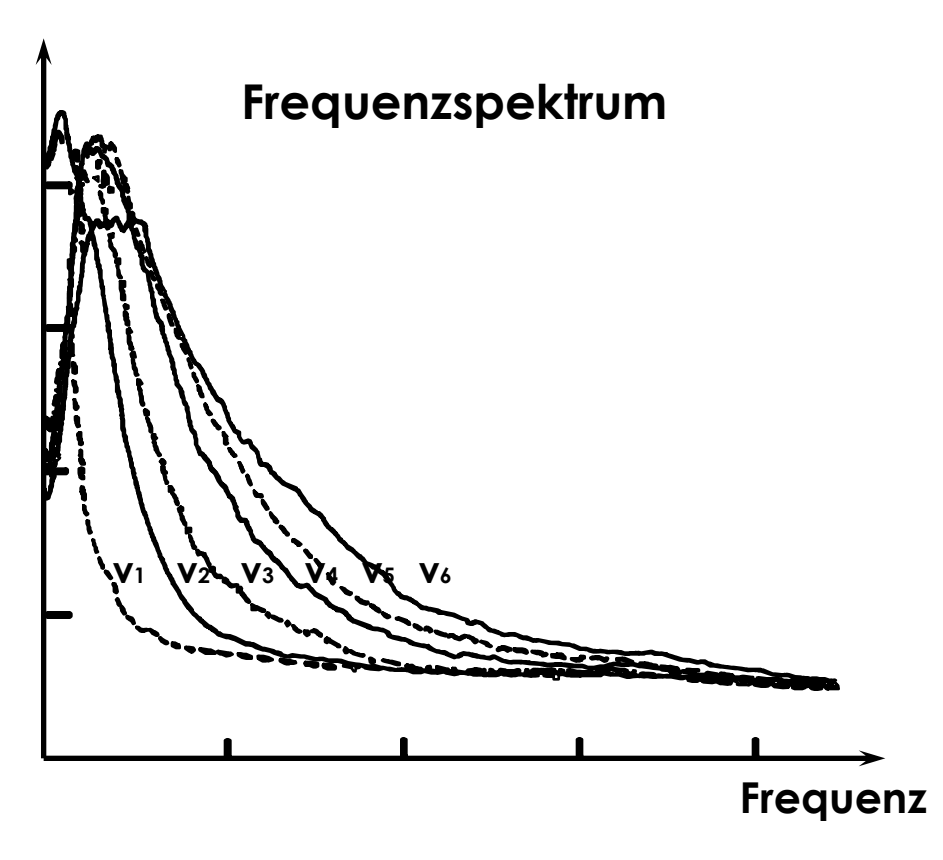
Messung der Blutflußgeschwindigkeit



Optische Geschwindigkeitsmessung nach dem Laser Doppler Prinzip:



bewegtes Blutteilchen Blutgefäß



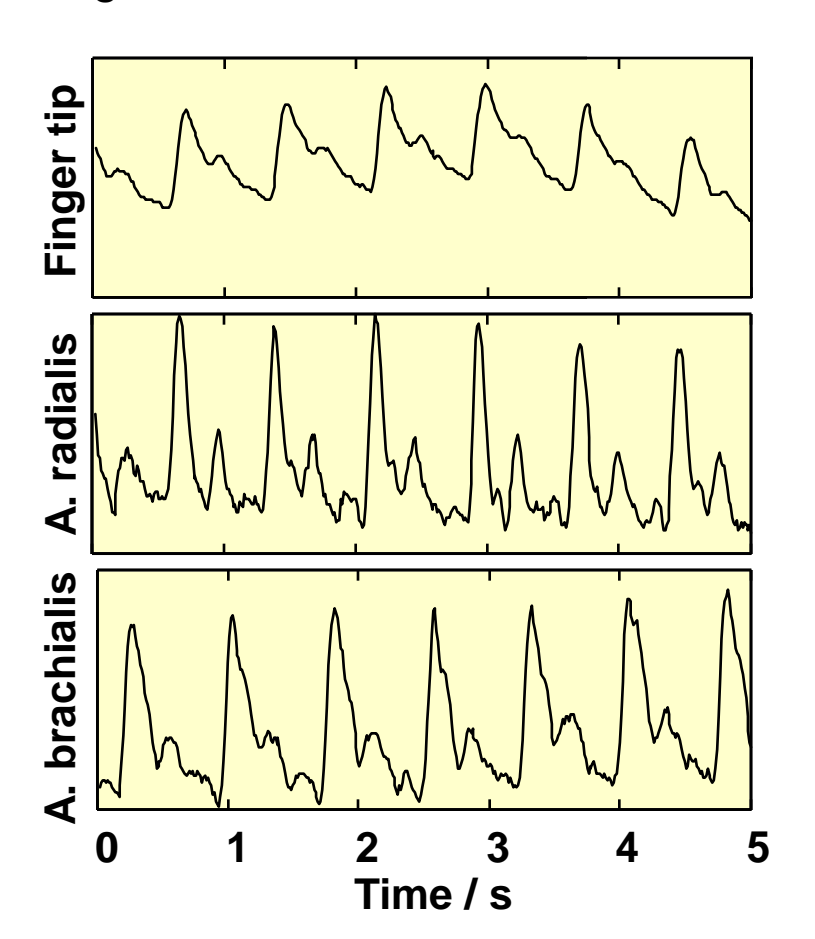
 $v_1 < v_2 < v_3 < v_4 < v_5 < v_6$



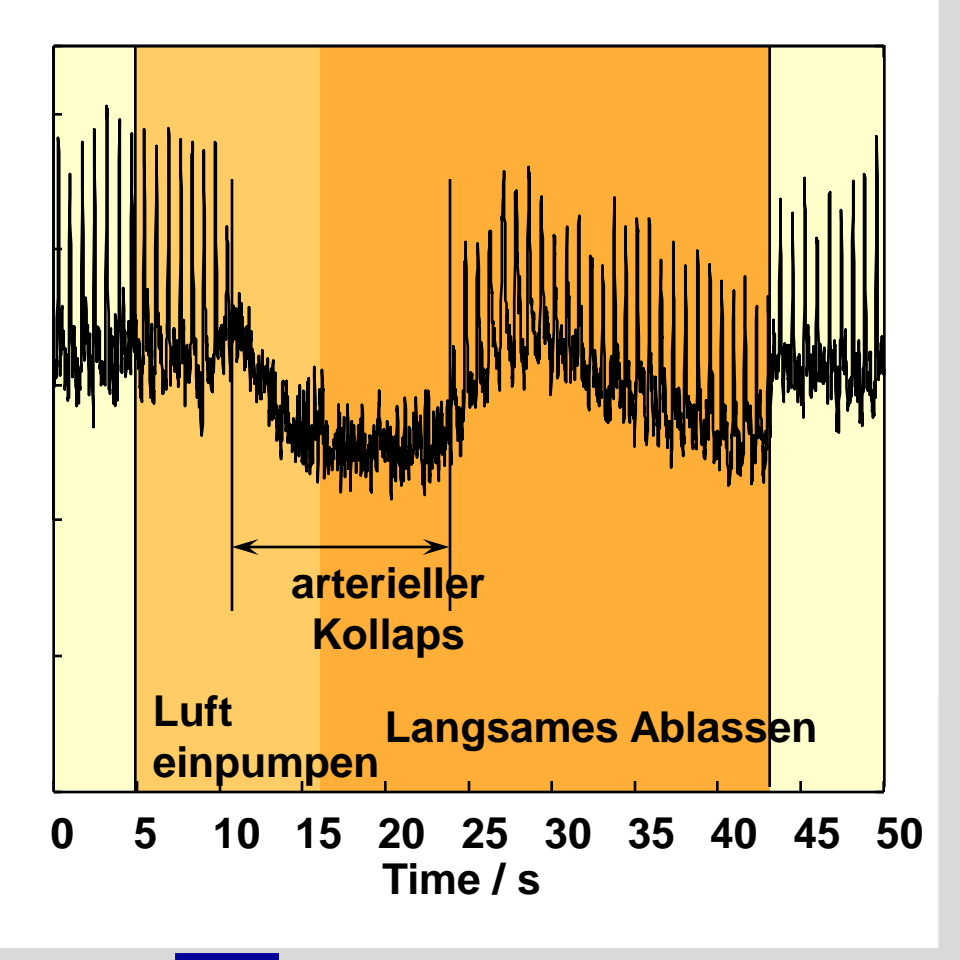
10.12.2013

Echtzeit in vivo Messungen

 Messung des Blutflusses im Perfusionsgebiet und in größeren Gefäßen



Messung des Blutflusses an der a.
 radialis während einer Occlusion
 mit Druckmanschette am Oberarm

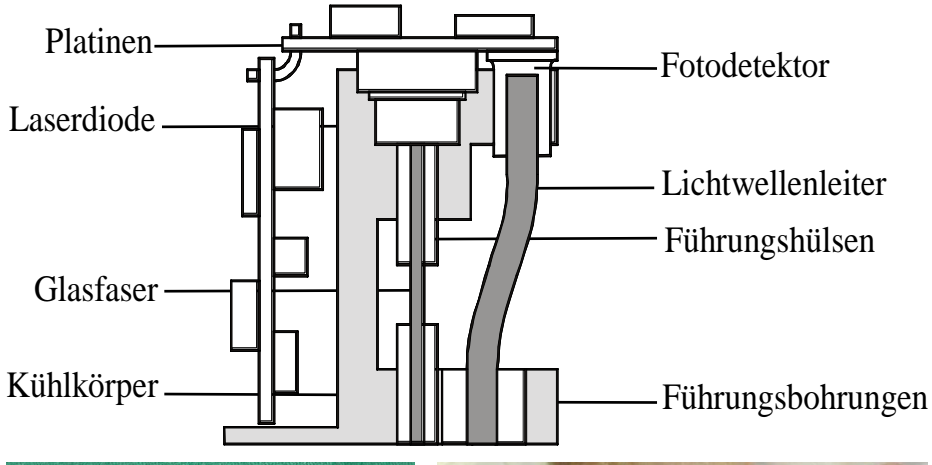




10.12.2013

Fingerclipsensoren





Schematischer Aufbau des LDF-Sensors (oben) und seine Realisierung als Clipsensor (unten links). Der Ohrclip ist Wunsch aber noch Zukunft (unten rechts).









Screening-System



- Designstudie Ohr-Gerät zur Ergonomie
 - PPG-Messung
 - drahtlose Kommunikation





Studie mit Uni-Klinik Erlangen-Nürnberg



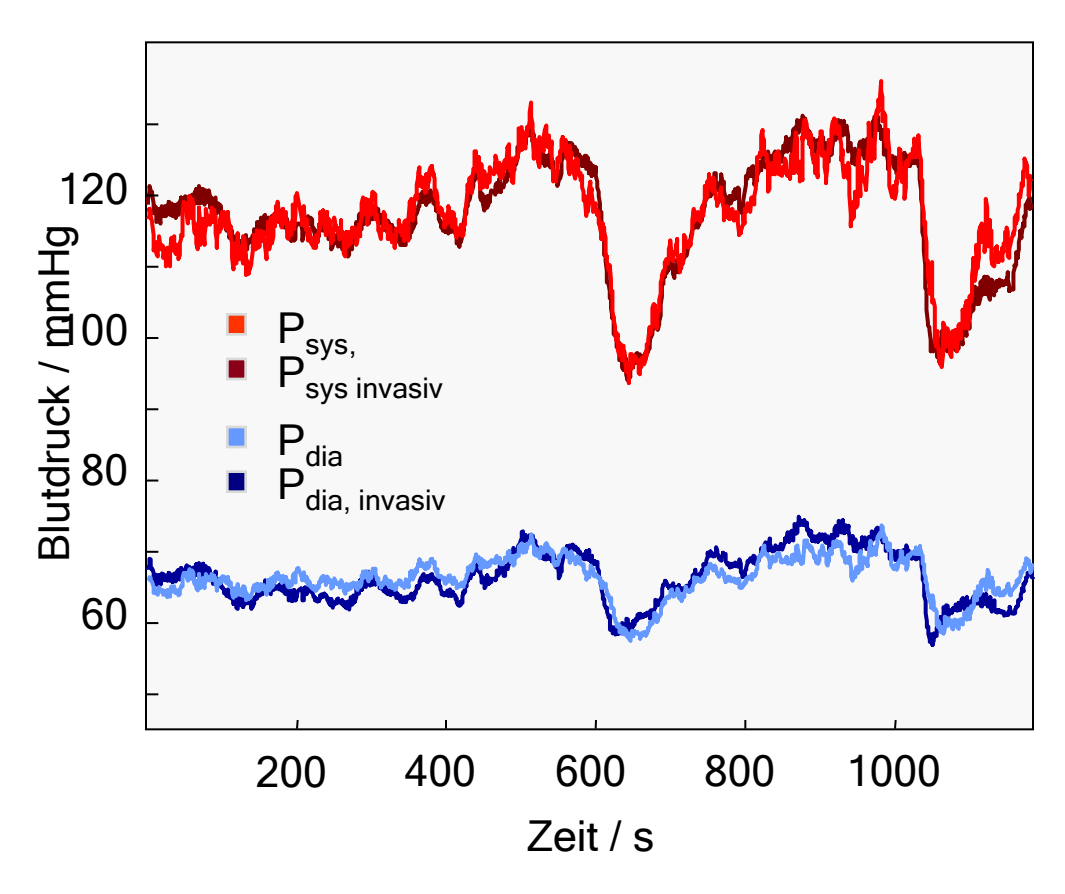
- Probandenkollektiv: 50 Intensiv-Patienten
- Referenz: Extravaskuläres Kathetermanometer
- Messung
 - Aufzeichnung von
 - Blutflusssignal am Finger
 - Blutflusssignal am Handgelenk
 - EKG
 - Blutdruckreferenzsignal
 - Verabreichung von blutdruckverändernden Medikamenten
 - Blutdrucksenkung durch Perlinganit
 - Blutdrucksteigerung durch Akrinor
 - Durchschnittliche Messdauer pro Patient ca. 30 min
- Datenanalyse
 - Klinik
 - Metaanalyse



Klinische Studie



- Simultane Messung an Intensiv-Patienten von invasivem
 Referenz-blutdruck, Laser-Doppler-Blutfluss und Pulstransitzeit
- N = 50
- Durchschnittliche Korrelationen
 - $R_{\emptyset sys} = 0.89$
 - $R_{\emptyset dia} = 0.80$
 - $R_{\emptyset mit} = 0.87$
- DurchschnittlicheStandardabweichungen
 - $\sigma_{\varnothing sys} = 5.73 \text{ mmHg}$
 - $\sigma_{\varnothing dia} = 2,29 \text{ mmHg}$
 - $\sigma_{\varnothing mit} = 3,21 \text{ mmHg}$



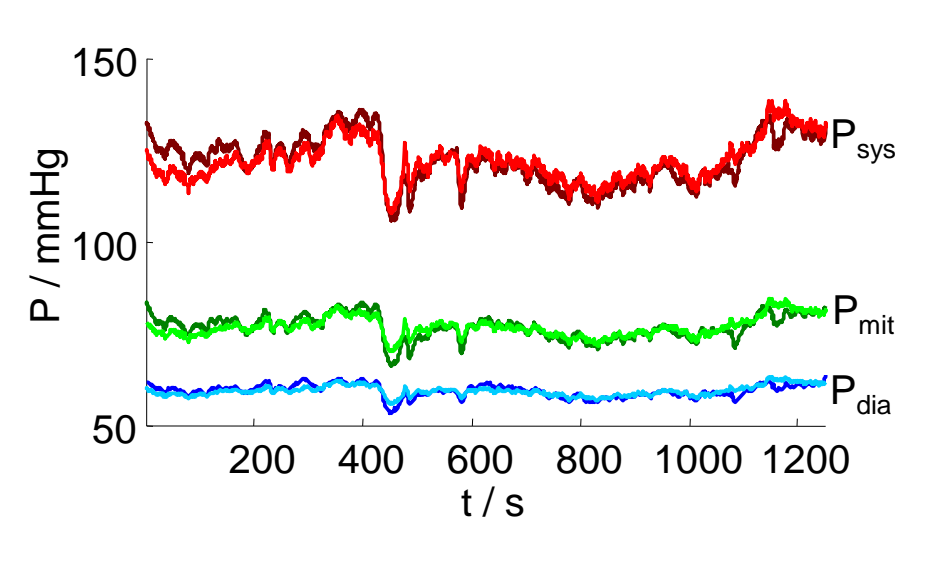
Ergebnisse

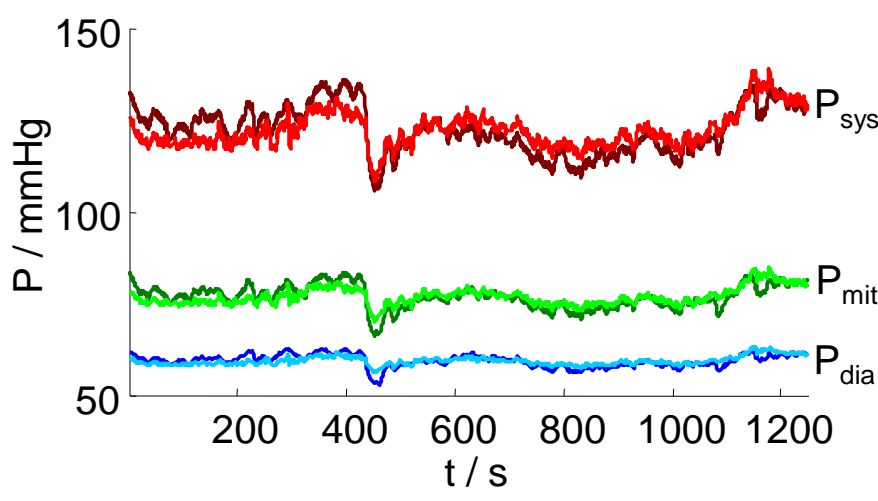


- Jeweils 40 Messreihen mit verwertbarem Finger- bzw. Handgelenksignal
- Zeitliche Verläufe der Referenz- und berechneten Blutdrücke

Finger

Handgelenk



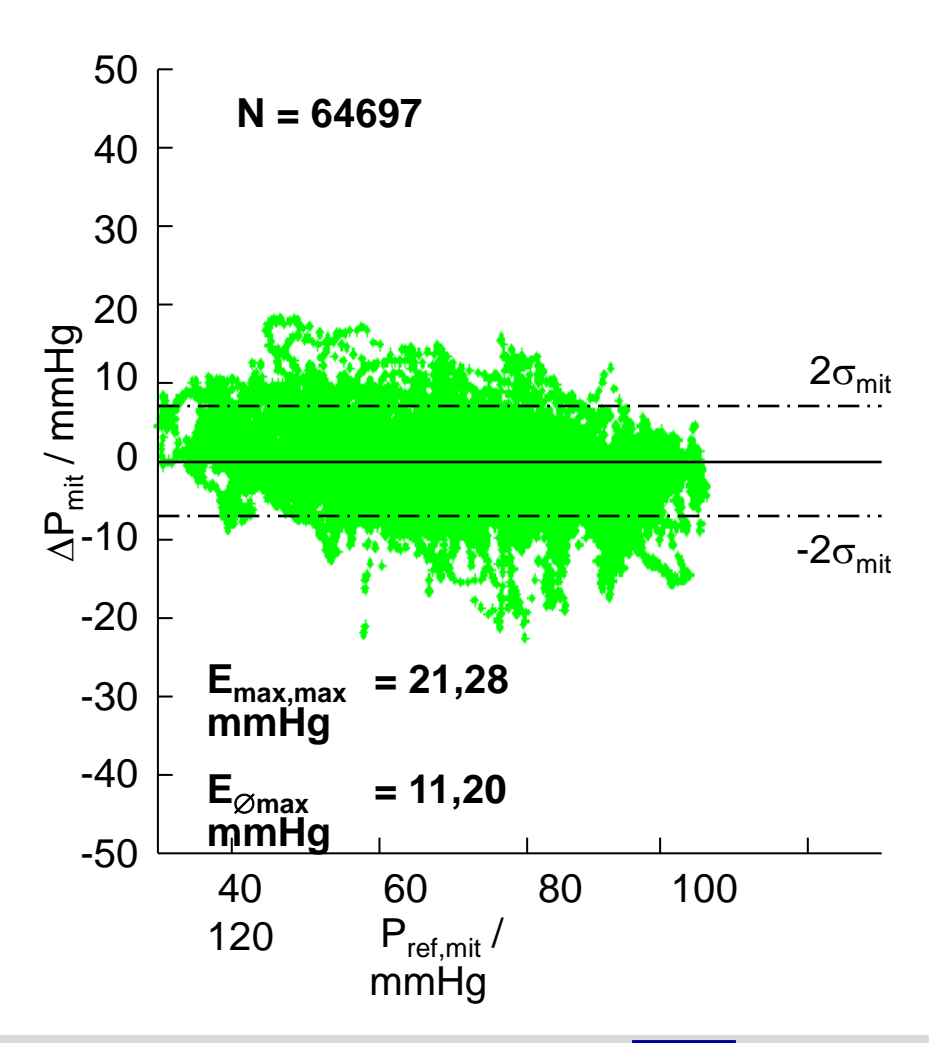


Ergebnisse – mit Blutfluss



☐ Bland-Altman-Plot der Differenzen des mittleren Blutdrucks

 σ =4.3 mmHg

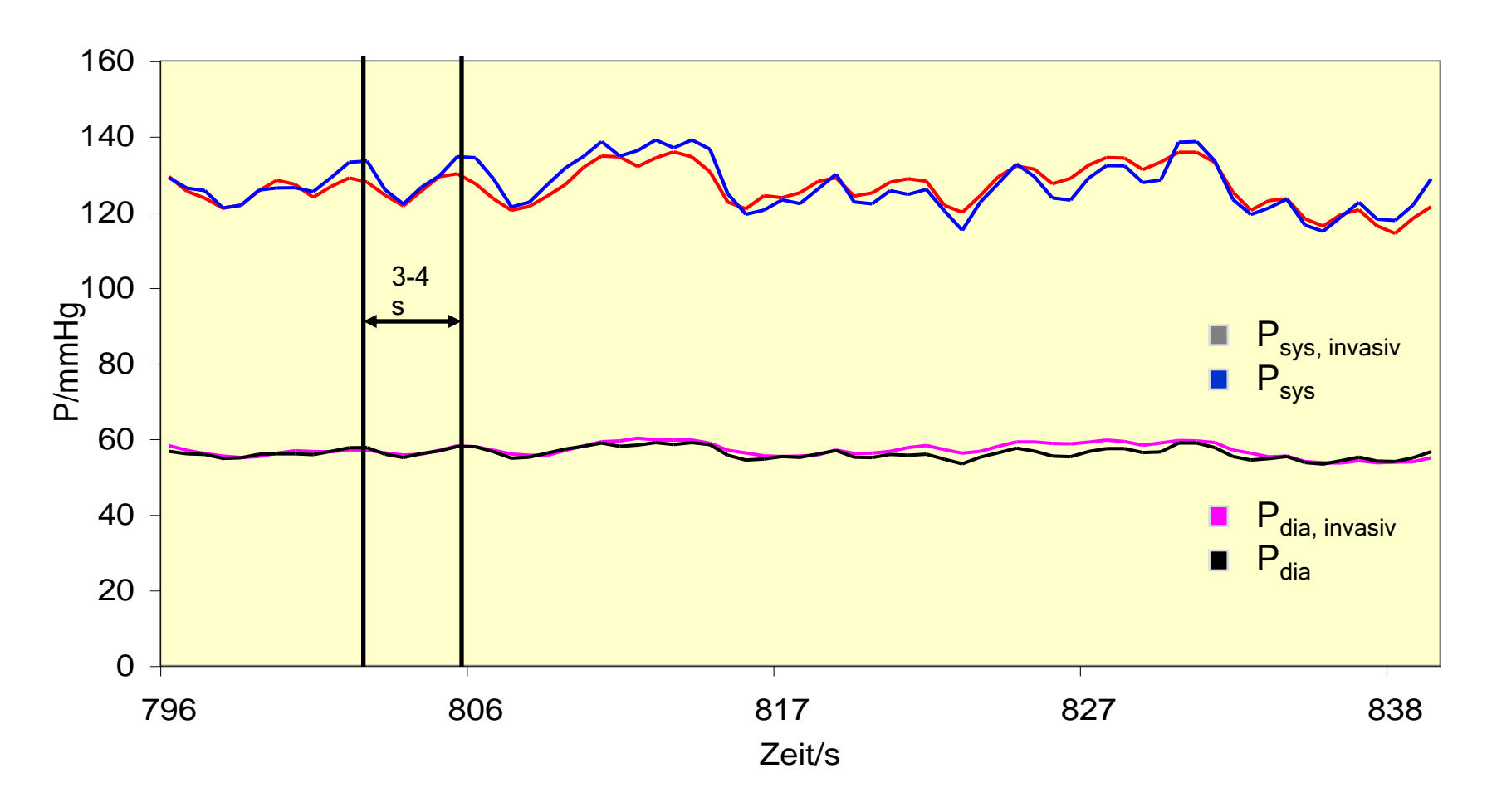


10.12.2013



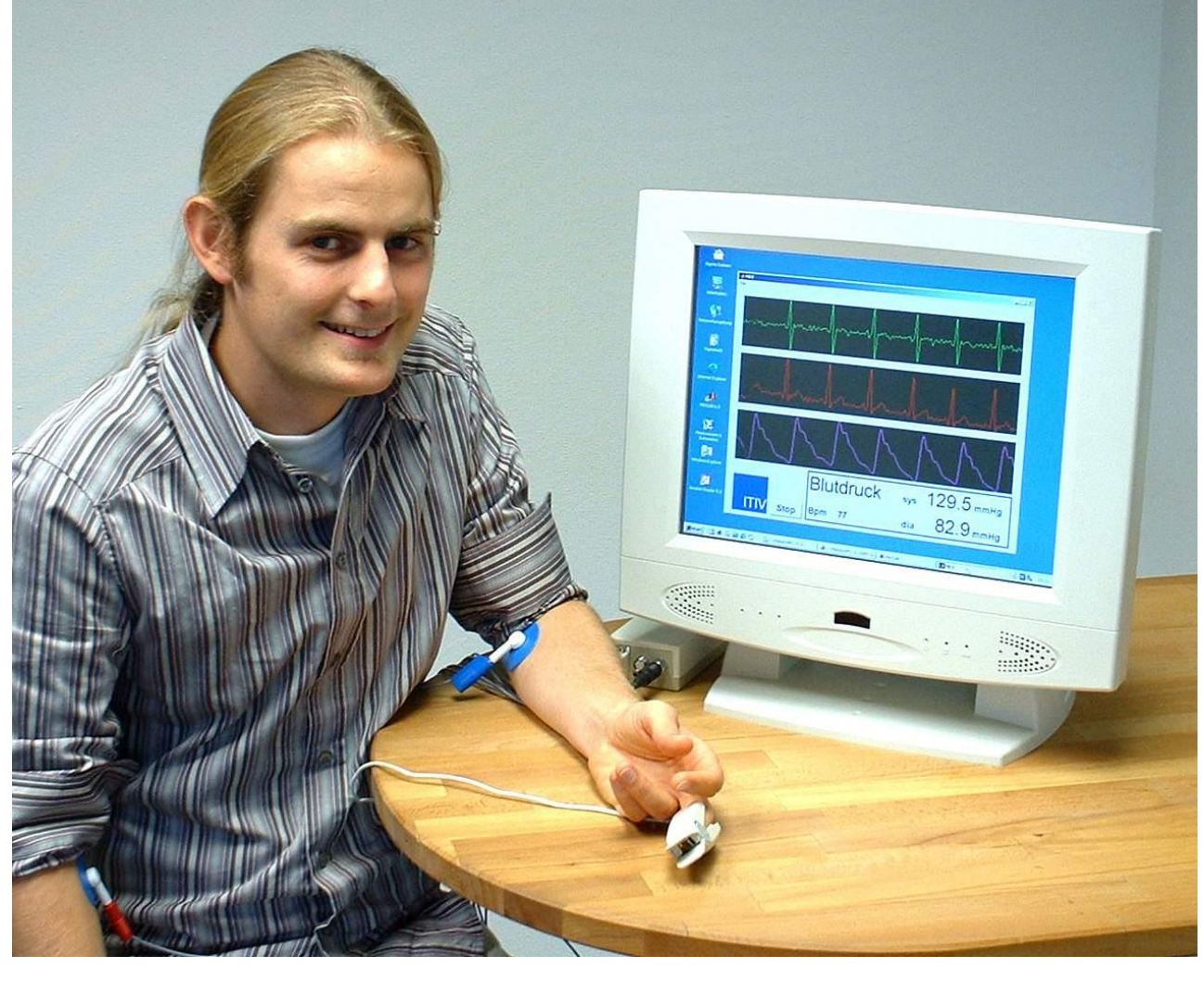
Klinische Studie - Blutdruckmodulation durch Atmung

Ausschnitt:



Blutdruck aus Blutfluß und Pulswellengeschwindigkeit

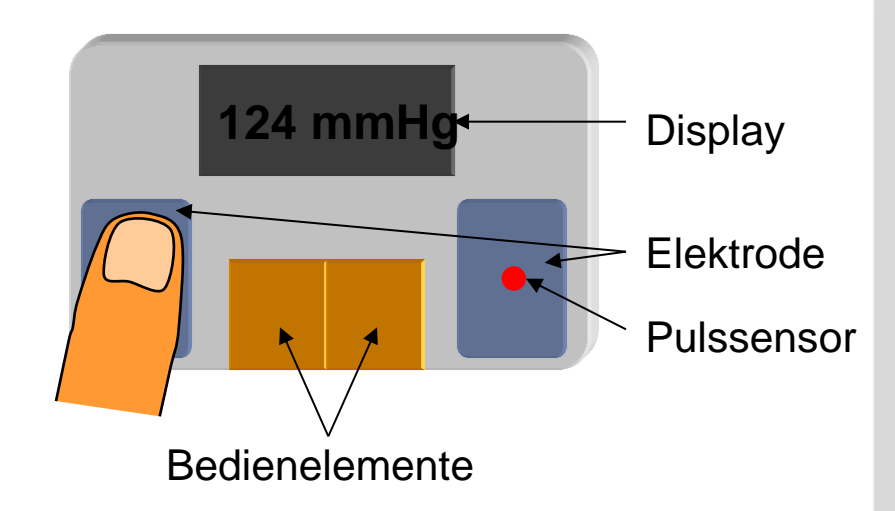




Trend-System



- 10 Messungen pro Tag
- Geringe Anforderung an Messgenauigkeit
- Keine hydrostatische Kompensation
- EKG- und PPG-Messung in einem Gerät
- Hydrostatische Kalibrierung durch Anwender
- Geschätzte Standzeit mit Primärknopfzelle >> 1 Jahr
- Mögliche Kombination mit EKG Brustgerät zur kontinuierlichen Überwachung der Herzaktivität

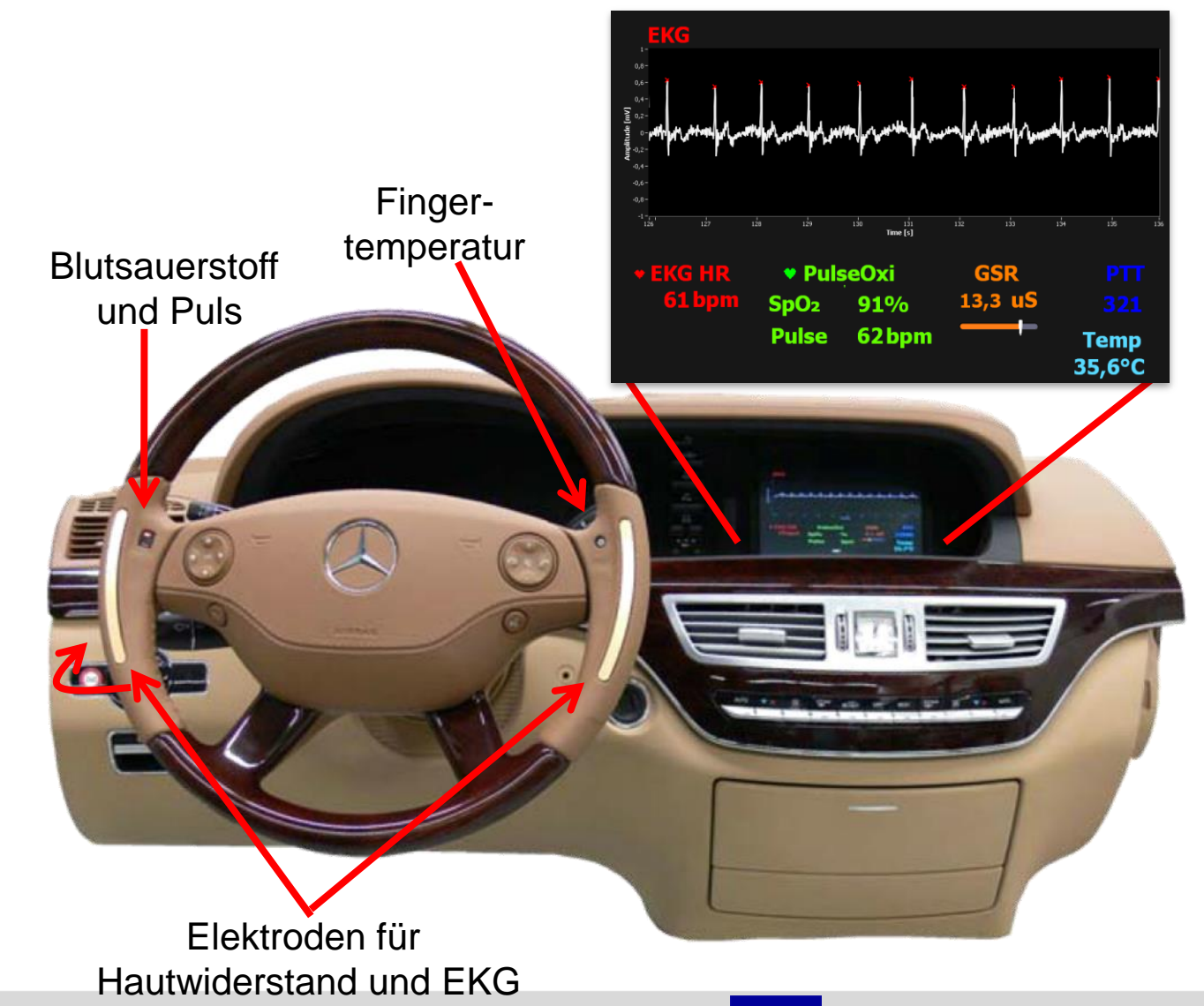








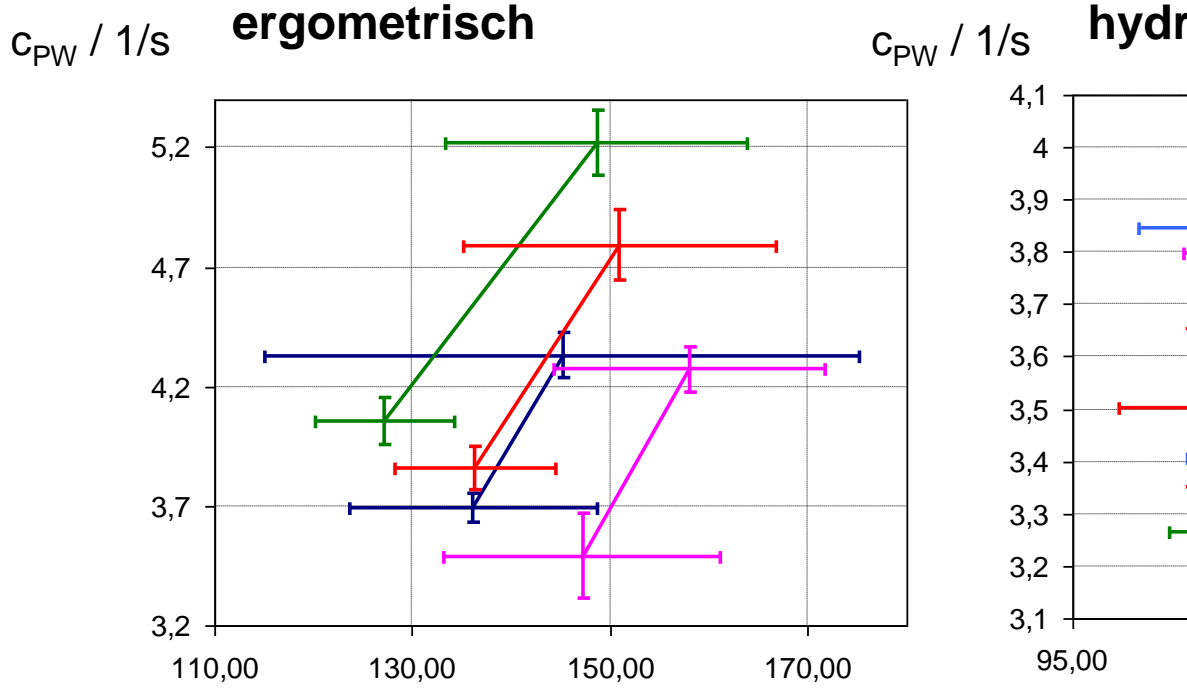
Lenkrad mit integrierter Vitalsensorik



Hydrostatische und Ergometrische Kalibrierung



- Probandenkollektiv
 - 7 Probanden (30 60 Jahre)
- Messzeitraum 2 Monate



P_{sys} / mmHg

hydrostatisch

